

斜張橋の有効幅に関する研究

大阪市立大学工学部 正員 中井 博

" 事江寿男

" ○水谷克己

1. まえがき

著者らは以前より連続鋼床版桁橋の shear lag 現象を解析し、その解の妥当性を実験によって確かめ、連続鋼床版桁橋の有効幅について種々考察しててきた。しかししながら、近年建設される機会が多い斜張橋の有効幅に関する研究はほとんどなく、単に連続げた橋の規定を準用しているのが現状である。本文は、文献²⁾の基礎式を拡張して、斜張橋の shear lag を伝達マトリックス法で解析し、斜張橋のフランジ有効幅について考察するものである。

2. 基礎式

図-1は回心 O_h に作用する断面力と変形量、およびデッキプレートに作用する軸方向力と軸方向変位を示したものである。

a. 断面力と変形量の関係式

$$\frac{4}{3} E F_u \frac{df(x)}{dx} + EA \frac{du(x)}{dx} = N(x) \quad \dots (1)$$

$$EI \frac{d^2f(x)}{dx^2} - \frac{4}{3} EF_u h_u \frac{df(x)}{dx} = M(x) \quad \dots (2)$$

$$-F_u h_u \frac{d^2\psi(x)}{dx^2} + \frac{4}{5} F_u \frac{d^2f(x)}{dx^2} + F_u \frac{d^2u(x)}{dx^2} \\ - 2 \frac{G t_u}{E b} f(x) = 0 \quad \dots (3)$$

b. 断面力のつり合い式

$$\frac{dQ}{dx} = -q, \quad \frac{dM}{dx} = Q, \quad \frac{dN}{dx} = -P \quad \dots (4)$$

3. 解析法

a. Field matrix

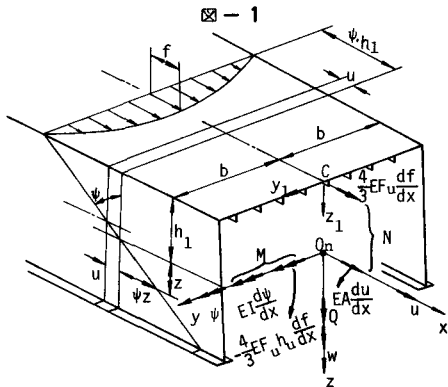
式(5)は微分方程式の解を Field matrix で表わしたものである。ただし、所要の計算精度を確保するために、文献⁵⁾より、

$$U_b = U + \delta f(x), \quad W_b = W + \frac{\gamma}{f_u \alpha^2} \frac{df(x)}{dx} \quad (b)$$

$$\Psi_b = \Psi - \frac{\gamma}{f_u \alpha^2} f(x)$$

$$\tilde{f}(x) = f(x) / \cosh \alpha x \quad \{ \quad (7)$$

$$\tilde{m}(x) = m(x) / \cosh \alpha x \quad \}$$



$U_{(0)}$	$W_{(0)}$	$\Psi_{(0)}$	$\tilde{f}_{(0)}$	$\tilde{m}_{(0)}$	$M_{(0)}$	$Q_{(0)}$	$N_{(0)}$	1
1	0	0	0	0	0	0	$\frac{1}{6} A_c$	$-\frac{P}{2} \frac{1}{6} A_c$
0	1	$-\frac{1}{6} I_c$	0	0	$-\frac{1}{2} \frac{I_c}{I} (\frac{f}{h})^2$	$\frac{f}{27}$	0	$\frac{f}{29}$
0	0	1	0	0	$\frac{I_c}{I} f$	$\frac{1}{2} \frac{I_c}{I} (\frac{f}{h})^2$	0	$-\frac{1}{6} \frac{I_c}{I} (\frac{f}{h})^3$
0	0	0	1	$\frac{f}{45}$	0	$\frac{f}{47}$	0	$\frac{f}{49}$
0	0	0	$\frac{f}{49}$	1	0	$\frac{f}{57}$	0	$\frac{f}{59}$
0	0	0	0	0	1	$\frac{f}{6c}$	0	$-\frac{q}{2} (\frac{f}{6c})^2$
0	0	0	0	0	0	1	0	$-\frac{q}{6} \frac{f}{6c}$
0	0	0	0	0	0	0	1	$-\frac{P}{6} \frac{f}{6c}$
0	0	0	0	0	0	0	0	1

... (5)

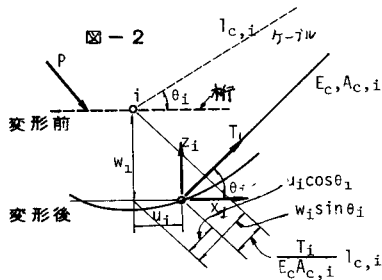
とおき、又曲線関数項の分離・単位化を行っている。ただし、 $m(x) = \frac{4}{3} EF_u h_u \frac{df(x)}{dx}$,

$$\tilde{f}_{27}^* = -\frac{f}{6c} \frac{I_c}{I} \left\{ \frac{1}{6} \left(\frac{f}{6c} \right)^2 - \frac{8}{\alpha^2} \frac{f}{6c} \right\}, \quad \tilde{f}_{29}^* = \frac{I_c}{I} \left[\frac{f}{6} \left\{ \frac{1}{24} \left(\frac{f}{6c} \right)^4 - \frac{1}{2} \frac{f}{6c} \frac{8f}{\alpha^2} \right\} + P \frac{f}{6c} \frac{8f}{\alpha^2} \right],$$

$$f_{45}^* = \frac{I_c}{I} \frac{f_u \alpha_c \delta_c}{E_c \alpha} \tanh \delta_c, \quad f_{47}^* = \beta \frac{I_c}{I} \frac{f_u (\alpha_c)^2}{E_c \alpha} \frac{1}{\cosh \delta_c - 1}, \quad f_{49}^* = -g^* \beta \frac{I_c}{I} \frac{f_u (\alpha_c)^2}{E_c \alpha} \frac{(\alpha_c \delta_c)^2}{\cosh \delta_c} \frac{\sinh \delta_c - \delta_c}{\cosh \delta_c} + p^* \beta \frac{I_c}{A Q^2} \frac{(\alpha_c)^2}{\alpha} \frac{1}{\cosh \delta_c} \frac{\cosh \delta_c - 1}{\cosh \delta_c},$$

$$f_{46}^* = \frac{I_c}{I} \frac{f_u \alpha \delta_c}{E_c \alpha_c} \tanh \delta_c, \quad f_{57}^* = \beta \frac{1}{\alpha} \frac{\delta_c}{E_c} \tanh \delta_c, \quad f_{59}^* = -g^* \beta \frac{1}{\alpha} \frac{\delta_c^2}{E_c} \frac{\cosh \delta_c - 1}{\cosh \delta_c} + p^* \beta \frac{f_u}{E_c} \frac{1}{\alpha} \frac{\cosh \delta_c - 1}{\cosh \delta_c}$$

b. Point matrix



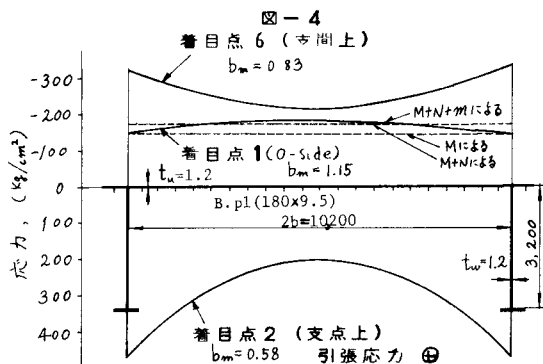
$$\tilde{P}_i^* = \begin{bmatrix} 1 & & & & \\ & 1 & & & \\ & & 1 & & \\ & & & 0 & \\ & & & & 1 \end{bmatrix} \cdots (8) \quad \tilde{Y}_{i,i}^* = \begin{bmatrix} \frac{1}{\cosh \delta_c} & & & \\ & \frac{1}{\cosh \delta_c} & & \\ & & k_{11}' & k_{12}' \\ & & k_{21}'/\text{tanh} \delta_c & k_{22}'/\text{tanh} \delta_c \\ & & k_{21}' & k_{22}' \\ & & k_{11}'/\text{tanh} \delta_c & k_{12}'/\text{tanh} \delta_c \end{bmatrix} \cdots (9)$$

式(8)はケーブル取付点におけるPoint matrixであり、式(9)は f_s^* , m_s^* 列に着目した State matrix である。ただし、 f_s^* , m_s^* は格点 i に新たに導入した不静定量であり、これを求める中間条件式は次式を得られる。

$$f_{i,i}^* - \frac{f_s^*}{\frac{1}{\cosh \delta_c}} = 0, \quad m_{i,i}^* - \frac{m_s^*}{\frac{1}{\cosh \delta_c}} = 0 \quad \cdots (10)$$

4. 数値計算例

図-4は尾道大橋をモデルにして、着目断面に一番大きな断面力が生ずるようにも荷重を載荷した時のデッキプレートの応力分布図の一例を示したものである。また表-1は各着目断面における斜張橋へ有効幅と連続桁の有効幅とを比較して示したものである。



5. あとがき

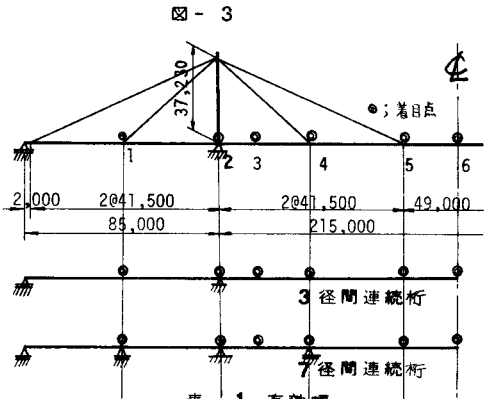
本文では Tower は変形しないものとして解析した。発表当日、斜張橋の有効幅について考察したものと種々述べる次第である。

参考文献 (1) 小松定夫, 土木学会論文集第58号

(2) 近藤, 小松, 中井; 土木学会論文集第86号

(3) 中井, 事口, 龍月; 土木学会関西支部, 昭48(I-23) (4) 小松定夫, 北田俊行; 土木学会関西支部, 昭49(I-38)

(5) 中井, 事口; 土木学会論文報告集, 第233号



上側 L-side, 下側 O-side ④ 引張応力